

## 討6

## 溶銑の同時脱焼、脱硫について

東北大学連鉱製錬研究所 ○井上博文 重野芳人  
徳田昌則 大谷正康

1. 結言 将来、原料面の事情ならびに鋼材品質の面から転炉における脱焼に対する要求は益々増大することが予想される。また省資源、省エネルギーの立場のみならず環境問題からみて、転炉渣の有効利用が焦眉の問題であり、種々の試みがなされているが、転炉渣の脱焼が困難なため未だ資源として積極的に利用できない状況にある。最近、かゝる観点から溶銑の脱焼に対する要求が高まり興味あるいくつかの研究が報告されている。<sup>1)</sup> 溶銑の脱焼および脱硫を同時に行なうことができれば、従来の溶銑脱硫の工程を省略できるとともに、現行の転炉の負担を軽減するばかりでなく、転炉渣の再利用が可能となる。脱焼に関する従来の研究を電気化学的に整理すると、フランクス中の焼の形態によりアノードおよびカソード反応の2つに大別される(表1)<sup>2)~6)</sup>。還元性雰囲気下でも、いくつかの強力な酸化剤をカソード反応として対置するとともに、強力な固定剤を選定すれば、焼をアノード反応として除くことが可能である。通常の脱硫反応は本來カソード反応であるので、適当な条件下で焼のアノード反応と対置させれば、溶銑の脱焼と脱硫を同時に行なうことができる。本研究は、処理後のフランクスを再処理する工程をも含めた溶銑の予備処理に関するプロセス研究の一環として溶銑の同時脱焼、脱硫を目的としたものである。

## 2. 脱焼の原理 — フランクス-メタル反応の電気化学的解釈

一般に溶融メタルとフランクスを接触させると、金属中のいくつかのM<sub>i</sub>成分がアノード反応(①式)、フランクス中のM<sub>j</sub>成分がカソード反応(②式)として電気化学的中性条件を満足するように進行する。<sup>7)</sup>



いま、メタルに対し、フランクスの電位がE<sub>M</sub>であるときM<sub>i</sub>成分の総括反応速度v<sub>i</sub>は、③式

$$v_i = k_{e,i}^+ C_i \exp\left(\frac{\alpha_i Z_i F}{RT} E_M\right) - k_{e,i}^- C'_i \exp\left(-\frac{(1-\alpha_i) Z_i F}{RT} E_M\right) \quad ③$$

で与えられる。ここで、k<sub>e,i</sub><sup>+</sup>、k<sub>e,i</sub><sup>-</sup>はそれぞれ両相間の電位差がゼロのときの速度定数、C<sub>i</sub>、C'<sub>i</sub>は各M<sub>i</sub>およびM'<sub>i</sub>の反応界面における濃度、α<sub>i</sub>は遷移係数である。個々の反応に対する電気化学的駆動力である過電圧η<sub>i</sub>は、内部分極で与えられる。

$$\eta_i = E_M - E_{e,i} \quad \dots \quad ④$$

$$E_{e,i} = E_{e,i}^0 + (RT/ZF) \ln(C'_i/C_i) \quad \dots \quad ⑤$$

ここに、E<sub>e,i</sub>は個別平衡電位でM<sub>i</sub>およびM'<sub>i</sub>の界面濃度が各々の相本体の濃度C<sub>i</sub>およびC'<sub>i</sub>に等しい状態で反応①が平衡しているときの電位である。外部回路を流れる電流はゼロであるので、反応界面を出入する総括電流値はゼロでなければならない。

表1 種々のフランクスによる脱焼反応

フランクス	雰囲気	アノード反応	カソード反応	文献
CaO-SiO <sub>2</sub> -FeO	酸化性		Fe <sup>2+</sup> +2e→Fe	2)
Na <sub>2</sub> B <sub>4</sub> O <sub>7</sub> -CaO-CaF <sub>2</sub> -FeO			Mn <sup>2+</sup> +2e→Mn	3)
CaO-CaCl <sub>2</sub> -MnO		P→P <sup>5+</sup> +5e	S+2e→S <sup>2-</sup>	本研究
Na <sub>2</sub> O-SiO <sub>2</sub> -FeO			O <sup>2-</sup> +2e→O <sup>0</sup>	4)
Na <sub>2</sub> CO <sub>3</sub> -Fe <sub>2</sub> O <sub>3</sub>	還元性		C <sup>4+</sup> +2e→C <sup>2+</sup>	5)
Ca-CaF <sub>2</sub>		Ca→Ca <sup>2+</sup> +2e	P+3e→P <sup>3-</sup>	6)
CaCl <sub>2</sub> -CaF <sub>2</sub>		C <sup>2-</sup> →C+2e		

$$\sum Z_i F v_i^{(アノード)} + \sum Z_j F v_j^{(カソード)} = 0 \quad \dots \quad ⑥$$

ここで、個々の反応系の内部分極の程度η<sub>i</sub>は、④式により各々反応系固有の条件により決まるE<sub>e,i</sub>と個々の反応系が関与した結果としての全反応系の速度論的事情により決まるE<sub>M</sub>(混成電位)の差で決定される。①のアノード反応に対し、電位の高い②の反応を対置すれば、反応の初期のE<sub>M</sub>のレベルは②の反応により決定される。また、①の反応に硫黄のカソード反応を対置すれば、同時脱焼、脱硫が可能となる。

3. 望ましい脱焼条件 — CaO-CaCl<sub>2</sub>系フランクス—焼をアノード反応(⑦式で代表)で除去しようとするとき、本系では競合するアノード反応として



常に⑨式を考慮しなければならぬ。 $MnO$ を含むフラックスを用いる場合には、対置するカソード反応は⑧式のようになる。メタルとフラックスを接触させた初期での内部分極状態を模式的に図1(a)に示す。図における混成電位 $E_{M,O}$ は、⑩式を満足するように決

$$I_p + I_o + I_{Mn} = 0 \quad \dots \quad (10)$$

定される。フラックス中の $Mn^{2+}$ は還元されてメタルへ、メタル中の燃はフラックスへ移行するが、燃の移行量は⑤式より $MnO$ 量に依存する。時間の経過とともに、 $\bar{C}_{Mn}$ は減少し、 $\bar{C}_{Mn}'$ は増加するため、⑤式により $E_{e,Mn}$ は卑となる。一方、 $\bar{C}_P$ は減少し、 $\bar{C}_P'$ は増加するため、 $E_{e,P}$ はより貴となり、 $MnO$ の総括還元速度は低下し、燃のメタルからフラックスへの移行量も次第に小さくなり、 $CO$ の寄与(曲線〇)が次第に大きくなる。時間の経過とともに、図1(b)のように混成電位は $E_{M,O}$ から $E_{M,2}$ へ移行すると、 $P^{st}$ が還元されてメタルへ戻る復燃現象が現れる。この復燃現象は、フラックスの phosphate capacity に大きく依存するため、 $P^{st}$ の活量を出来るだけ小さくする必要がある。脱硫反応はカソード反応であることから $MnO$ と同様の挙動を示す。⑦式の反応以外のいくつかの反応、とくに⑨式やSiの反応はできるだけ抑制することが望ましい。以上脱燃の条件を一括して表2に示す。これらの条件を満足する溶媒として  $CaO-CaCl_2$  を採用した。⑦式の反応が競合する CO発生の反応に優先するために、フラックスがメタルに接触時間とできるだけ短くすること、即ち、フラックスの融点ならばに粘性が低いことが必要条件である。図2に示す状態図によれば、 $CaF_2$ 系フラックスに比し融点が数百度低く、 $1350^{\circ}C$ における $CaO$ の固溶限は約25%と推定される。また  $Ca_3(PO_4)_2$  の $CaCl_2$ への溶解度は、40%で、初晶に塩素を含むアパタイト系化合物の存在が認められ、塩素が脱燃に有効に作用することが期待される。

#### 4. 実験方法

溶鉄の燃あるいは硫黄の含有量は、硫黄の影響を検討する場合を除いて、それぞれ0.2%および0.05%である。 $CaCl_2-CaO$ 系フラックスは所定の組成に

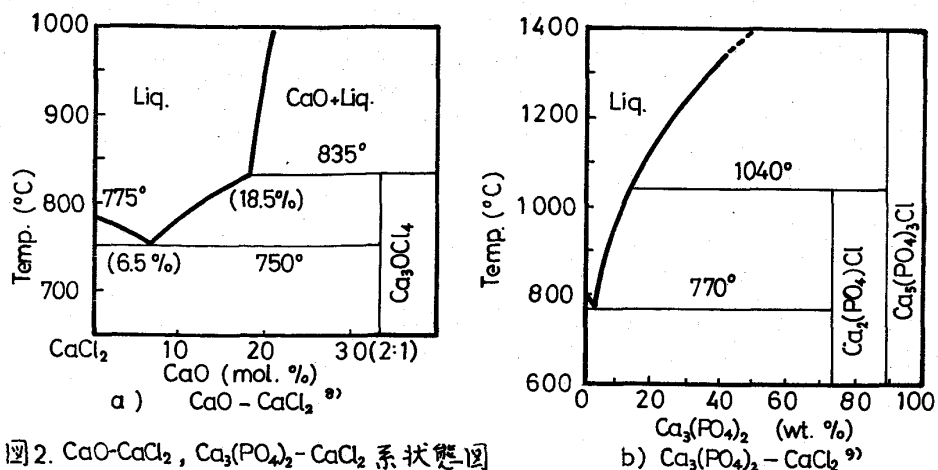


図2.  $CaO-CaCl_2$ ,  $Ca_3(PO_4)_2-CaCl_2$  系状態図

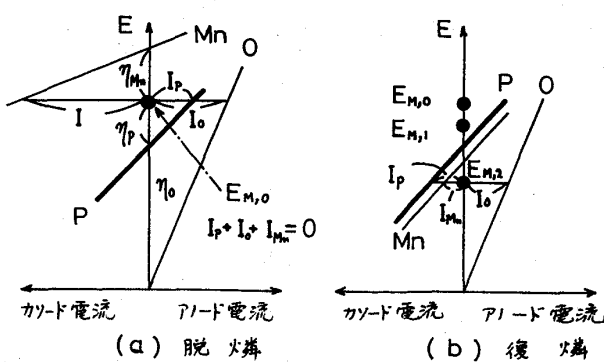
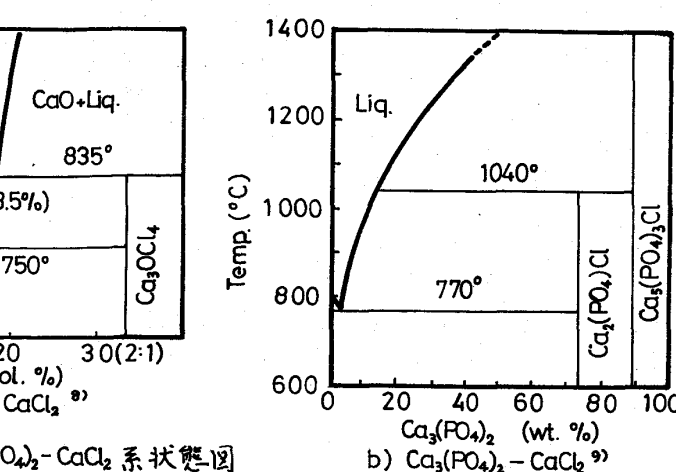


図1. 脱燃および復燃反応における内部分極状態を示す模式図

表2. 脱燃の条件と方法

条件	内容	方法
1. $I_p$ の増大	• $E_M$ の增大 • $E_{e,Mn}$ の大きさ	酸化剤: • $CaO$ の増加 カソード反応と対置 • $TiO_2$ , 炭酸塩など
2. $E_{e,P}$ の増大抑制	$A_{P^{st}}$ の低下	固定剤: • $CaO$ の増加 • $Na_2O$ など
3. 他のアーティ反応を抑止する 他に活性化を抑制	• CO発生に先行して⑦式を促進 • $E_{e,Si}$ の増大	• 低粘性, 低融点 フラックス • 黒鉛/フラックスの 界面積の低下 • $As_i$ の低下

以上脱燃の条件を一括して表2に示す。これらの条件を満足する溶媒として  $CaO-CaCl_2$  を採用した。⑦式の反応が競合する CO発生の反応が開始される (图上部に記載) ために、フラックスがメタルに接触時間とできるだけ短くすること、即ち、フラックスの融点ならばに粘性が低いことが必要条件である。図2に示す状態図によれば、 $CaF_2$ 系フラックスに比し融点が数百度低く、 $1350^{\circ}C$ における $CaO$ の固溶限は約25%と推定される。また  $Ca_3(PO_4)_2$  の $CaCl_2$ への溶解度は、40%である。



配合し、予め黒鉛るっぽで約1200°Cの温度で溶解したのち急冷したもの用いた。上下2つからなる黒鉛るっぽの下部の黒鉛るっぽ(ID 45mm × H 60mm)に予め溶製した銑鉄175gを挿入し所定の温度に到達したのち、上部の黒鉛るっぽにフラックス42.5gを挿入し、2~3分保持したのちに中央のストップバーを取り除き、フラックスを落下させ溶銑とフラックスを接触させ、反応開始時間とし、所定の時間毎に不透明石英管で試料を採取し、分析に供した。

### 5. 実験結果および考察

脱磷の条件として、2,3で述べたごとく、1)磷を酸化するための酸化剤ならびに2)酸化した磷を固定するための固定剤がは要である。本研究では、解析に容易なMnOを酸化剤に、CaOを固定剤に採用し、先に示した脱磷の理論の実証に重点をおいた。

#### 1) 酸化剤の濃度の影響

CaOを一定にし、MnO濃度は5, 10%の2水準えらんだ。図3に示すように、5% MnOの場合、メタルとフラックスを接触させたのち2分で52%の脱磷率を示し、5分で復燃が始まっている。10% MnOでは、5分で71%脱磷率を示している。メタルへのMnの移行量は、5% MnOでは2分までは急速に増加し、それ以後は大略一定の値を示しており、酸化能力が低下したために復燃が起ったと考えられる。これに対し、10% MnOの場合には、5分までMnが増加しているため、5% MnOよりも脱磷率が高。

#### 2) CaO 濃度の影響

MnO濃度を一定にし、CaO濃度を10, 20, 30%と変化させたとき、最大脱磷率はそれぞれ62, 77, 83%であり10% CaOでは、2分で復燃が開始し、5分後の復燃速度はきわめてはやく、また復燃量も多い(図4)。CaOが増加するとともに、Mnの移行量は増加し、5分後のMnは30%CaOの方が大きい。CaOの増加は、MnOの活性を増大させるとともに、フラックス中の磷の活性を減少させるためEMが増大する結果、磷およびMnの移行量が大きくなる。

#### 3) 硫黄の影響

フラックス中のMnOおよびCaO濃度を一定とし、硫黄の影響を図5に示す。0.05, 0.07, 0.5%Sに対し2分後の脱磷率はそれぞれ56, 60, 71%である。メタルへのMnの移行は2分まで急速に増大しており、5分以後は大略一定のMn量となっている。Mnの移行速度はメタル中の初期S量の增加とともに減少する傾向を示す。反応初期には、MnO量は一定であるから $E_{e,Mn}$ は一定であり、0.5%Sの方が0.05%Sよりも $E_{e,S}$ がより貴であるため、混成電位 $E_{M,0}$ はより高い電位を与える。従って、

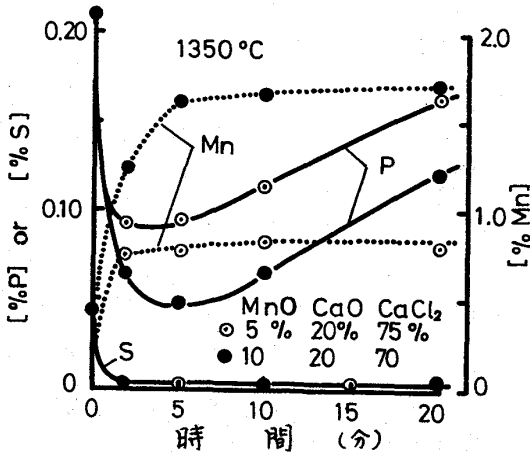


図3. 脱磷におけるMnO濃度の影響

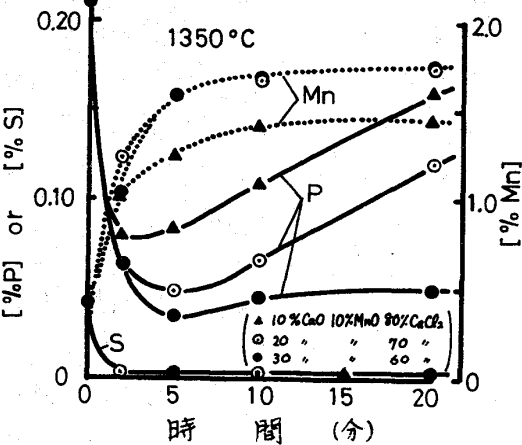


図4. 脱磷におけるCaO濃度の影響

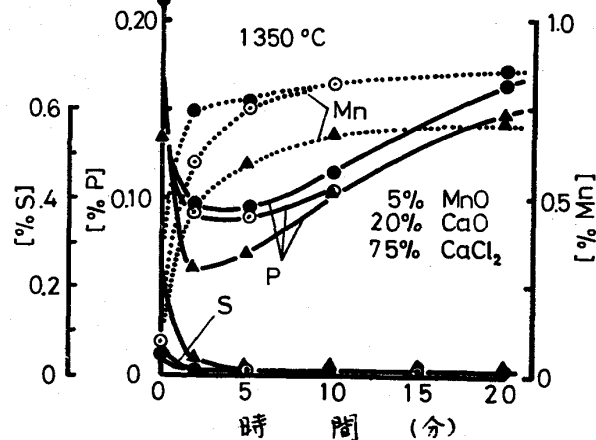


図5. 脱磷におけるS濃度の影響  
(● 0.046% S ○ 0.07% ▲ 0.5%)

$MnO$  の還元反応にもとづくカソード電流の寄与は、0.5%の方が0.05%より小さくなる。一方、Sは2~5分後には0.5%Sの場合を除きTrace(<0.003%)まで脱硫されており、このことから脱硫反応もカソード反応として脱硫に大きく寄与していることがわかる。フラックス処理後のSは重量法でしか分析できないため、メタル中の硫黄値に重量法の限界値(0.003%)を用いると、硫黄の分配比は $(\%S)/[\%S] = 63$ と推定される。この値は $CuCl_2$ に比べると小さいが、攪拌などの操作を必要としないで、反応開始後1~2分でこの値に到達することは注目すべき点と考えられる。

#### 4) Si濃度の影響

メタル中のSiはアノード反応として作用し、脱硫反応と競合する元素であるため、はじめ初期Si濃度を歩くすることが望ましい。フラックス中の $CaO$ ,  $MnO$ 濃度を一定にし、初期Si濃度の影響を図6に示す。0.2%Siの場合には、0%Siのときと変わらず最大脱硫率71%を与えており、0.5%Siでは、2分で最大脱硫率35%と低く、しかも10分後の復硫量も多い。

一方、Mnの移行量は、0.5%Siでは、0%, 0.2%Siのときより大きくなることがわかる。

#### 5) フラックス/メタル量比と脱硫率

脱硫率におけるフラックス/メタル量比の関係を図7に示す。フラックス量が、5%以下では脱硫率は低いが、初期硫濃度が0.26%と高い点を考慮すれば、25分後における脱硫率57%はかなり大きさを phosphate capacity を有するフラックスと考えられる。フラックス量が25%と大きくなると最大脱硫率は91%と高く、復硫量も小さい。

#### 6) ブームの発生状況

$CaCl_2$ の蒸気圧は、1350°Cで4mmHg ( $CaF_2$ : 1600°Cで1.3mmHg)と高く、また酸素の存在下では塩素の発生を伴う。本実験では、中央に30mmφのサンプリング孔を有する黒鉛の蓋を除いたときおよび酸化鉄を添加したときなどに、白煙発生が観察されるが、水蒸気との反応とも関連させて、今後この点に關し系統的に検討すべき問題である。

6. 結言 脱硫および脱硫の原理をフラックス/メタル間反応の電気化学に基礎をあき、 $CaO$ - $CaCl_2$ 系フラックスを溶媒として、溶銑の同時脱硫、脱硫を行ない、以下の知見を得た。1) 燃のアノード反応に対置する反応として、 $MnO$ ,  $FeO$ , 炭酸塩その他の酸化剤による反応が有力であり、硫黄のカソード反応も有効である。2)  $CaO$ - $CaCl_2$ 系フラックスは脱硫生成物を強力に安定化する溶媒である。3)  $CaO$ - $CaCl_2$ - $MnO$ 系フラックスを使用することにより短時間に高脱硫率、高脱硫率を得ることができる。

#### 文献

- 1) たとえば、佐々木ら：鉄と鋼 63(1977), 19
- 2) たとえば、Winkler et al.: Trans. AIME, 167(1946), 111
- 3) 竹之内ら：鉄と鋼 63(1977), S157
- 4) Maddocks et al. : JISI 162(1944), 249
- 5) 山本ら：特許公報 52-28419
- 6) 中村ら：鉄と鋼 63(1977), S102.
- 7) たとえば 德田：日本金属学会報 15(1976), 379.
- 8) Wang S: J. Chem. Eng. Data 14(1969), 252
- 9) Gmelin, Ca [B] p.1200

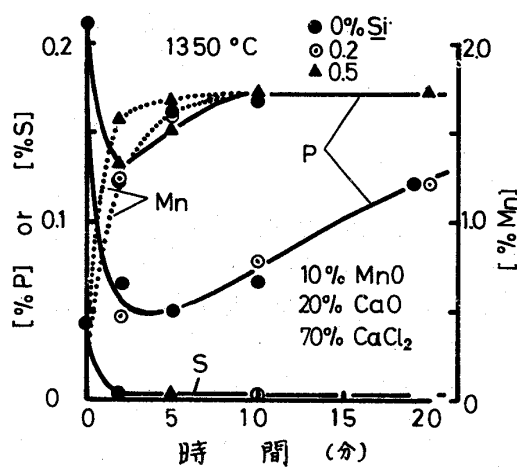


図6. 脱硫におけるシリコン濃度の影響

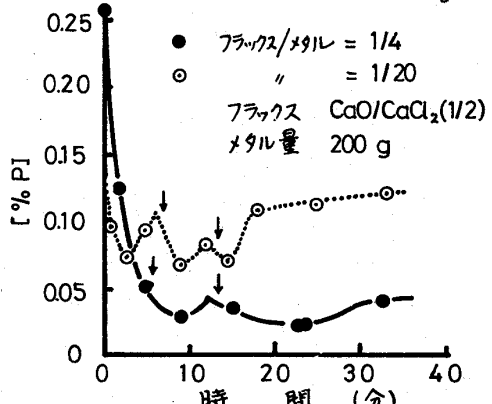


図7. 脱硫におけるフラックス量の影響

(矢印:  $MnO_2$  5g 添加, 1350 °C)